



20
719

ОБЪЕДИНЕННЫЙ ИНСТИТУТ ЯДЕРНЫХ ИССЛЕДОВАНИЙ

Лаборатория высоких энергий

Б. Малы, В.С. Пантуев, М.Н. Хачатуров

919

ДВАДЦАТИКАНАЛЬНЫЙ АМПЛИТУДНЫЙ
АНАЛИЗАТОР

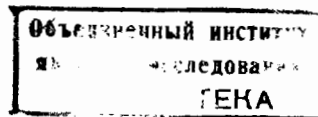
ДИЭ, 1963, №, с 73-75.

Б. Малы, В.С. Пантуев, М.Н. Хачатуров

919

ДВАДЦАТИКАНАЛЬНЫЙ АМПЛИТУДНЫЙ
АНАЛИЗАТОР

Направлено в ГТЭ



Описан амплитудный анализатор импульсов, предназначенный для ядерной спектрометрии. Импульсы непрерывного спектра превращаются в импульсы 12-ти дискретных амплитуд. Распределение по каналам производится лампой ЛП-1.

Мертвое время анализатора - 30 мкsec, равномерность ширины каналов - 1%, стабильность порогов - 0,02%.

Конструирование и наладка многоканальных быстродействующих амплитудных анализаторов до сих пор продолжает оставаться трудной задачей, несмотря на появление в печати значительного числа работ на эту тему.

Среди описанных анализаторов привлекает своей простотой анализатор на ЛП-1¹. Существенными недостатками этой схемы являются неравномерность каналов и нестабильность порогов. При этом неизбежно возникают наложения каналов или просветы между ними. С целью устранения этих недостатков нами была введена предварительная дискретизация амплитуд входных импульсов. С помощью схемы дискретизатора все входные импульсы преобразуются в стандартные, с плоской вершиной длительностью 5 мкsec. Амплитуды выходных импульсов могут принимать лишь определенные дискретные значения, соответствующие амплитудам входных импульсов.

Таким образом, основные свойства анализатора определяются соответствующими качествами дискретизирующей схемы.

Анализатор состоит из следующих блоков:

1. входной блок,
2. дискретизатор,
3. анализатор на ЛП-1,
4. блок регистрации,
5. блок питания.

Входной блок включает предварительное растягивание импульсов по длительности и блокировку входа на время анализа. Дискретизатор преобразует непрерывный спектр амплитуд в дискретный. Блок с ЛП-1 распределяет импульсы по 12-ти каналам. Блок регистрации состоит из 12-ти пересчетных схем с механическими счетчиками на выходе.

Для получения дискретных амплитуд применяются поочередно принципы амплитудно-временной и времязамплиудной трансформации импульсов. Дискретизация амплитуд достигается промежуточной дискретизацией временных интервалов, в которые преобразованы амплитуды входных импульсов.

Диаграммы импульсов приведены на рис. 2.

Входные положительные импульсы с амплитудами до 80 в запоминаются по амплитуде схемой памяти III на время, необходимое для амплитудно-временной трансформации (2а). Одновременно запускается ударный генератор УГ, дающий серию коротких импульсов с интервалом следования $T=1,2$ мксек (2б). Первым импульсом серии запускается генератор пилообразного напряжения ГП(2в).

Далее в схеме наложения СН на линейно нарастающее напряжение накладываются импульсы серии от ударного генератора (2г). Этот сигнал, а также сигнал с памяти (2а) поступают на схему сравнения СС, на выходе которой появляется импульс (2д) в момент, когда напряжение "пицы" приблизится к амплитуде импульса на памяти. С выхода СС импульс поступает на дискриминатор сравнения ДС, обеспечивающий четкость порога сравнения.

Вследствие того, что на "пицу" наложены короткие импульсы серии УГ, импульс сравнения имеет такую же длительность и совпадает во времени с одним из импульсов УГ. Импульс с дискриминатора ДС может появиться только в дискретные моменты времени t_i по отношению к первому импульсу УГ($t = 0$) в зависимости от амплитуды входного импульса: $t_1 = T$, $t_2 = 2T$,

$$t_i = i T \quad \text{до } t_n = n T, \text{ где } n - \text{ полное число каналов анализатора.}$$

Импульс от ДС опрокидывает обратно L_{19} /триггер генератора "пицы"/ и тем самым обрывает "пицу". Пилообразное напряжение нарастает от нулевого уровня с постоянной скоростью U/RC , а так как начало пицы по времени совпадает с первым импульсом УГ через дискретные отрезки времени t_i , то "пица" может достичь только дискретных значений амплитуд U_i

$$U_1 = \frac{U T}{R C} ; \quad U_2 = \frac{2 U T}{R C} , \quad \dots \quad U_i = \frac{i U T}{R C} \dots \quad U_n = \frac{n U T}{R C} .$$

Максимальное напряжение, достигнутое "пилой", запоминается второй схемой памяти П2 на время, равное нескольким мксек, (рис. 2e), необходимое для того, чтобы ЛП-1 могла его проанализировать. Выход с П2 через катодный повторитель подается на отклоняющие пластины ЛП-1.

Принципиальная схема всего анализатора приведена на рис. 3. Входной анализируемый импульс проходит через нормально открытую схему блокировки (L_1, L_2, L_3) на схему памяти (L_4, L_5, L_6). Если переключатель T_1 находится в положении 1 ("внутренний запуск"), то анализируемый импульс со входного катодного повторителя L_1 поступает также на вход схемы запуска (L_{14}, L_{15}, L_{17}), которая генерирует короткий положительный импульс, совпадающий по времени с передним фронтом входного импульса.

Схема запуска возбуждает ударный генератор (L_{16}, L_{18}), первый импульс которого опрокидывает триггер L_{19} . Отрицательный импульс с левого анода L_{19} :

- а) стартует генератор линейно-нарастающего напряжения ("пилы");
- б) обеспечивает условие регенерации в ударном генераторе (L_{16}, L_{18});
- в) запирает разрядную лампу первой схемы памяти (L_6);
- г) блокирует схему запуска (L_{14}) на время анализа.

Линейно нарастающее напряжение с $L_{21}-L_{22}$ подается на схему сравнения L_7-L_8 . Наложение импульсов ударного генератора на пилу достигается последовательным включением вторичной обмотки Тр-III в цепь подачи пилы на L_8 . "Зазубренная" пила и выходной импульс с первой схемы памяти сравниваются в схеме сравнения L_7-L_8 . Импульс на аноде L_8 запускает дискриминатор сравнения L_9 , который в свою очередь опрокидывает бинарную ячейку (триггер пилы) L_{19} в нормальное положение.

Вследствие дискретности во времени появления "зазубрин" относительно начала пилы ее амплитуда может достигать только дискретных значений, так как именно одна из "зазубрин" прерывает нарастание "пилы" и вызывает ее срыв.

Дискретные амплитуды, достигаемые пилой, запоминаются второй схемой памяти L_{23} - L_{24} на время, равное длительности импульса дискриминатора сравнения (L_9) и подаются через два катодных повторителя (L_{26}) на отклоняющие сетки ЛП-1.

На время плоской вершины выходных импульсов, имеющих дискретные амплитуды, лампа ЛП-1 открывается подачей на модулятор положительного 60 в импульса от дискриминатора L_9 через катодный повторитель L_{10} . На нагрузке 91 Ком одного из 12-ти собирающих электродов ЛП-1 появится отрицательный импульс около 20 в, который затем идет в блок регистрации на пересчетную схему.

Блокировка входа на время анализа осуществляется следующим образом.

Нарастающая "пила" с выхода второй схемы памяти (правый катод L_{24}) запускает дискриминатор блокировки L_{28} . На левом аноде L_{28} появляется стандартный импульс постоянной длительности, задержанный на 2-3 мксек от начала "пилы", в зависимости от порога срабатывания L_{28} .

Таким образом, после прихода анализируемого импульса входная блокировка L_1 - L_3 закрывается на время 30 мксек, не зависящее от амплитуды входного импульса.

Блокинг-генератор L_{18} работает в режиме ударного генератора, что достигается включением линии задержки (90 см РКЗ-401) в третью обмотку блокинг-трансформатора. Если отрицательный импульс блокинг-генератора, проходя по линии задержки, встретит на конце кабеля большое сопротивление нагрузки $R > \rho_{\text{волн.}}$

равное 400 ом, то импульс отражает в той же фазе и через время $2\tau_g$ вновь запускает L_{18} , т.е. имеется условие самовозбуждения блокинга с периодом повторения $2\tau_g$.

Если нагрузку R понизить до $R = \rho$ волновое, отражений не будет, и регенерация импульсов прекратится. Нагрузкой конца линии задержки является катодный импеданс правого триода L_{18} , равный примерно 250 ом, плюс последовательно включенное сопротивление 180 ом.

Когда отрицательным импульсом триггера L_{19} этот триод полностью заперт, регенерация вновь возможна. После окончания импульса триггера L_{18} отпускается и регенерация прекращается.

Генератор пилы ($L_{20,21,22}$) собран по обычной схеме заряда емкости $C = 68 \text{ пф}$ через диод L_{20} , зарядное сопротивление $R = 470 \text{ Ком}$, с катодным повторителем на лампе L_{22} , работающей в пентодном режиме для лучшей линейности. Нижний диод L_{20} поддерживает нулевой уровень начала пилы. Скорость нарастания пилы

$$\frac{U}{R(C+C_p)} = 4 \frac{\text{вольт}}{\text{мксек}}$$

L_{12} является дискриминатором Шmittа с порогом, соответствующим импульсам с амплитудами выше 12-го канала, т.е. представляет собой выход 13-го интегрального канала.

Блок регистрации состоит из 12-ти пересчетных схем на 8 с выходом на счетчики МЭС-54 (рис. 4).

При необходимости иметь большее число каналов можно применить две лампы ЛП-1 последовательно, соответственно изменив схему анализатора, причем изменения не носят принципиального характера.

Технические характеристики анализатора:

число каналов - 12;

порог первого канала - 5 вольт;

ширина канала - 5,79 вольт;

емкость канала - 8000 импульсов.

Имеется выход для интегрального счета импульсов выше амплитуды 12 канала. "Мертвое" время анализатора - 30 мксек.

Максимально допустимая загрузка статистически распределенными импульсами - 5000 имп/сек.

Анализатор позволяет работать с внешним запуском при разрешающем времени 3 мксек. Требования к форме входного импульса:

время нарастания $\leq 3 \text{ мксек}$; длительность $\geq 1 \text{ мксек}$.

Стабильность порогов в течение рабочего дня $\leq \pm 0,2\%$.

Неравномерность ширины каналов $\leq \pm 1\%$.

Анализатор использовался при калибровке черенковского спектрометра полного поглощения ^{/2/}.

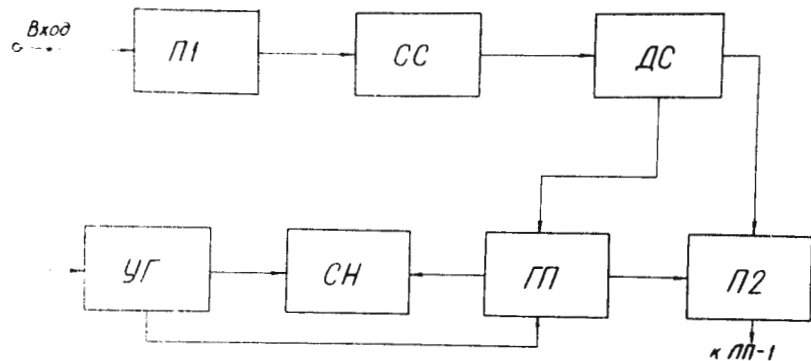


Рис. 1. Блок-схема дискретизатора.

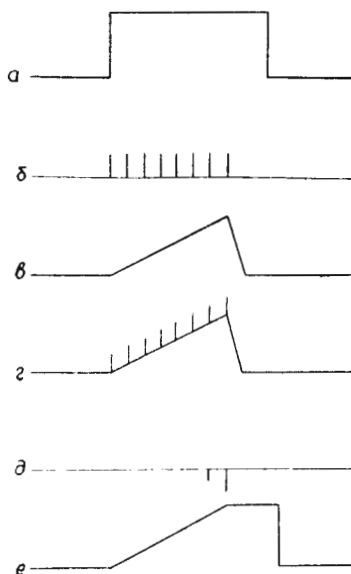


Рис. 2. Осциллограммы импульсов в блоке дискретизатора:

а - на катоде L_5 б - на аноде L_{18} в - на катоде L_{22} г - на управляющей сетке L_8 д - на аноде L_8 е - на катоде L_{23} .

Схема амплитудного анализатора АИ-12

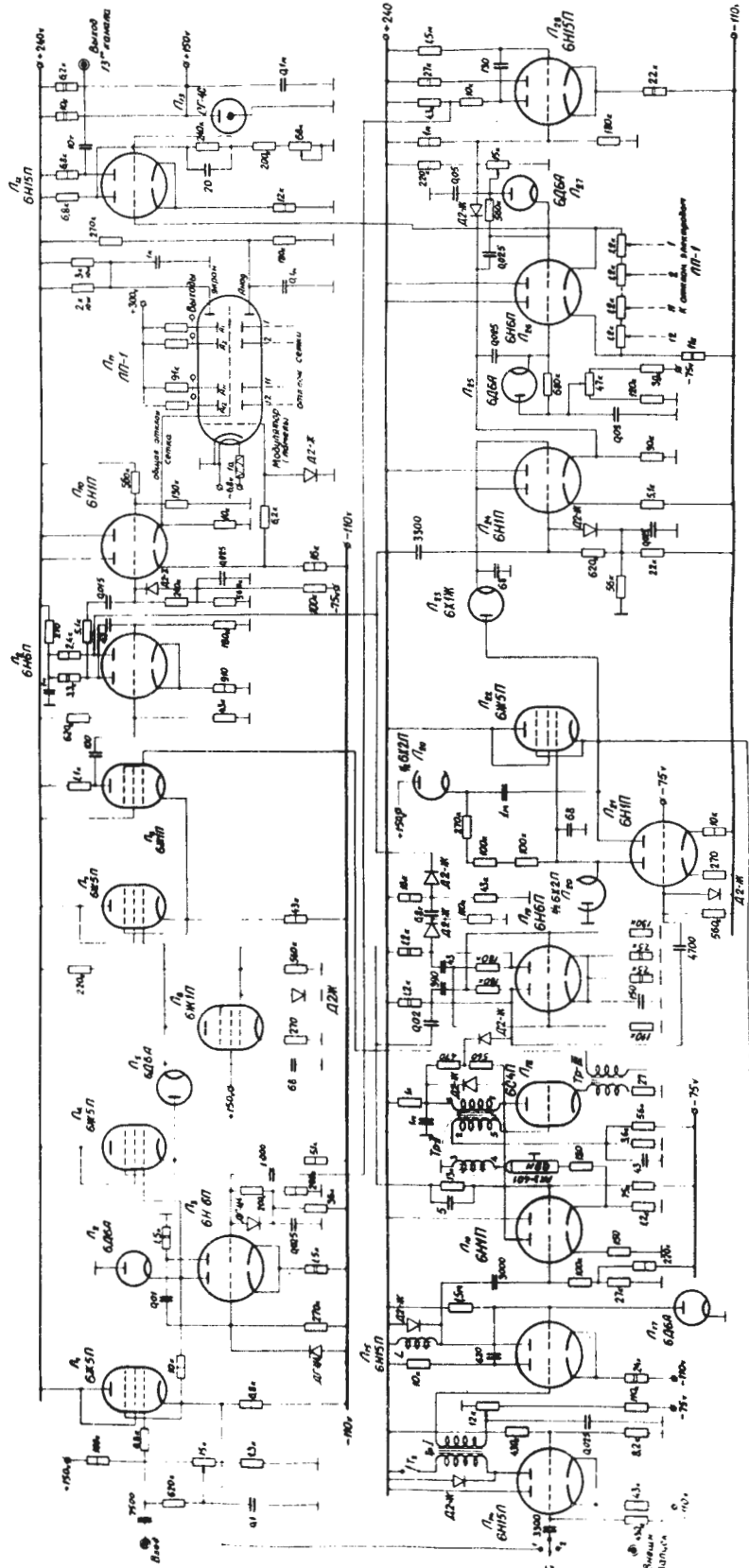


Рис. 3. Принципиальная схема анализатора.

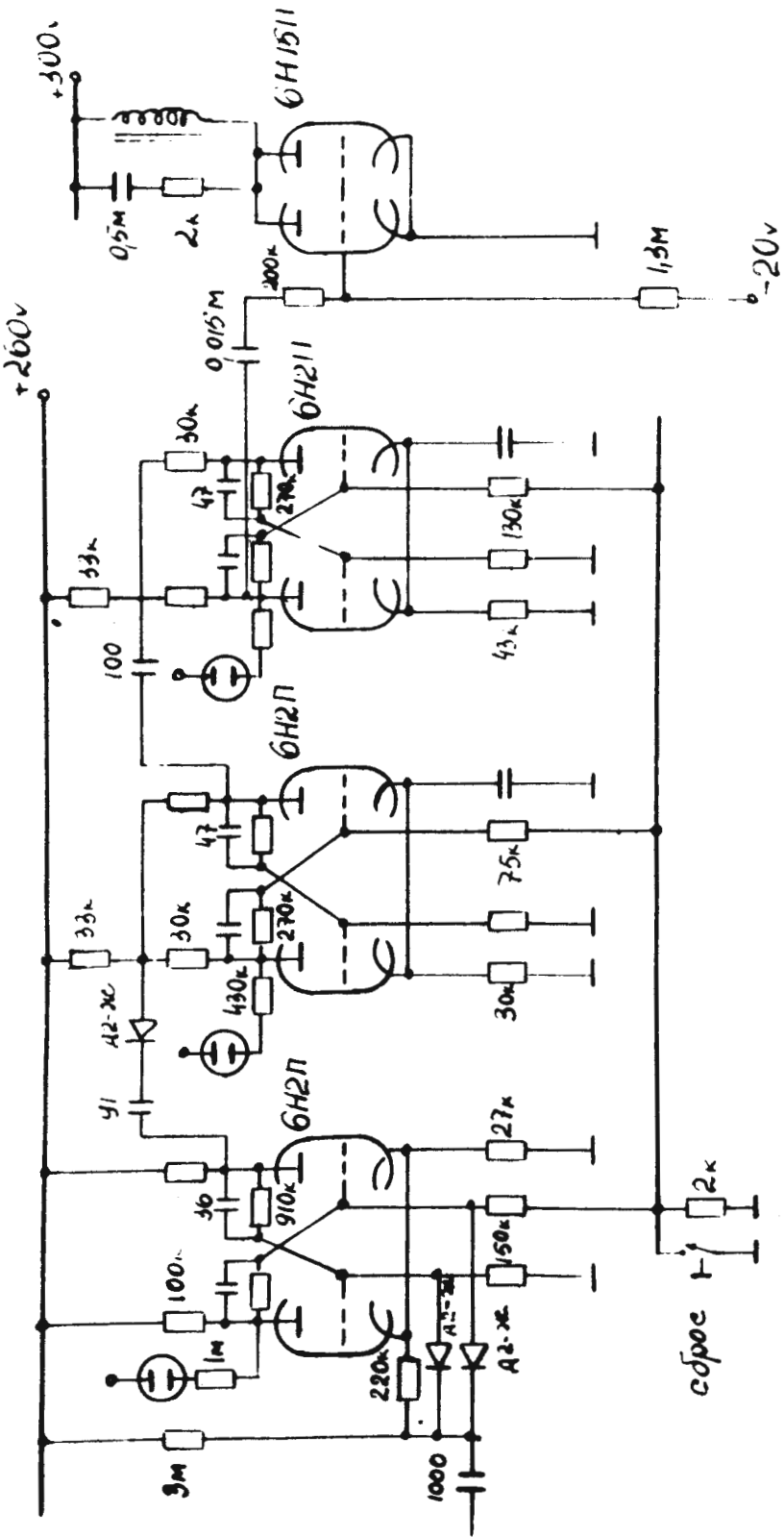
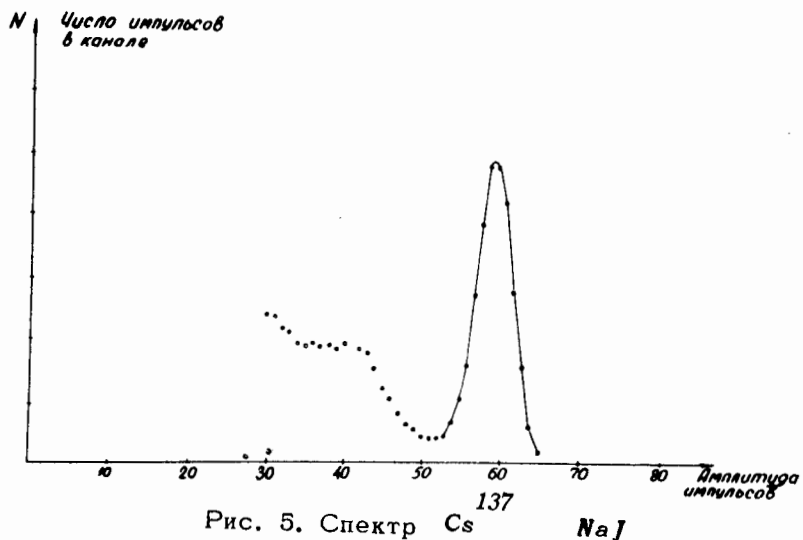


Рис. 4. Пересчетная схема блока регистрации.



Л и т е р а т у р а

1. Е.В.Кузнецов. 24-канальный амплитудный анализатор на электронном переключателе типа ЛП-1, ПТЭ, 1, 956, № 2.
2. В.С.Пантуев, М.Н.Хачатурян, И.В.Чувило. Черенковский спектрометр полного поглощения. ПТЭ, № 1, 1960 г.

Рукопись поступила в издательский отдел
17 февраля 1962 года.